

نقش گیرنده A₁ آدنوزینی در فعالیت الکتریکی نورونهای هسته پارازیگانتوسلولاریس در موشهای صحرایی نر معتاد

محسن خلیلی Ph.D^{*}, محمدرضا واعظ مهدوی Ph.D^{*}

دانشگاه شاهد، دانشکده پزشکی، گروه فیزیولوژی

آدرس مکاتبه: تهران صندوق پستی: ۷۴۳۵-۱۴۱۴، دانشگاه شاهد، دانشکده پزشکی، گروه فیزیولوژی

پست الکترونیک: Email:najafabady@yahoo.com

چکیده

دریافت مقاله: ۸۲/۹/۲۴، پذیرش مقاله: ۸۳/۲/۱۶

* هدف: بررسی نقش گیرنده های A₁ آدنوزینی نورونهای هسته پارازیگانتوسلولاریس بر فعالیت الکتریکی این نورونها در موشهای کنترل و معتاد

* مواد و روشها: حیوانات مورد مطالعه به دو گروه کنترل و واپسیه به مورفین تفسیم شدند (در هر گروه $n=36$). در گروه واپسیه حیوانات سولفات مورفین را از طریق آب آشامیدنی به مدت ۲۱ روز دریافت می کردند. سپس حیوانات هر دو گروه به مینظر ثبت فعالیت الکتریکی از نورونهای هسته PGi در دستگاه استریوتاکس قرار گرفته و توسط میکرومانیپولیتور یک عدد میکروپیپت ثبات شیشه ای در کنار یک نورون هسته PGi قرار می گرفت. فعالیت الکتریکی نورون به دستگاه تقویت کننده خارج سلولی و سپس به اوسیلوسکوپ هدایت می شد. با استفاده از یک دستگاه Window discriminator فعالیت الکتریکی نورون از زمینه اوسیلوسکوپ جدا شده و وارد برنامه آنالیز کننده کامپیوتری PSTM می گردید. فعالیت نورون حدوداً بعد از ۳۰ دقیقه ثبت از نورون حالت ثابت پیدا می کرد. با اعمال داروهای آگونیست و آنتاگونیست گیرنده A₁ اثر آنها بر فعالیت الکتریکی نورونهای هسته PGi (فرکانس در ثانیه) اندازه گیری می شد.

* یافته ها: با به کار گیری آگونیست اختصاصی گیرنده A₁, سیکلوهگزیل آدنوزین ($200 \mu\text{M}$; i.p.) به داخل هسته PGi دردو گروه کنترل و معتاد فعالیت الکتریکی این هسته به مقدار معنی داری کاهش پیدا می کند، به طوری که این کاهش فالیت در گروه معتاد ($52 \pm 3/4$ درصد) بارزتر از گروه کنترل بود ($27 \pm 2/2$ درصد). همچنین حدود ۱۰-۱۸ دقیقه بعد از به کار گیری $8-10 \text{ mg/kg}$ i.p. به عنوان آنتاگونیست اختصاصی گیرنده A₁ آدنوزینی یک افزایش در فعالیت الکتریکی هسته PGi مشاهده شد که این اثر در گروه معتاد ($39 \pm 2/5$ ٪) مشخص تر از گروه کنترل بود ($27 \pm 2/2$ درصد). در آزمایش های تکمیلی سیکلوهگزیل آدنوزین (CHA) در گروهی از موشهای کار رفت که قبلاً کافین (50 mg/kg ; i.p.) را دریافت کرده بودند. نتیجه نشان داد که در حضور کافین به عنوان آنتاگونیست عمومی گیرنده های آدنوزینی اثر بارزی بر فعالیت الکتریکی نورونهای هسته PGi ندارد.

* نتیجه گیری: نتایج به دست آمده نشان داد که یک افزایش حساسیت در گیرنده های A₁ آدنوزینی در موشهای صحرایی نر معتاد به مورفین به وجود می آید که این افزایش حساسیت سبب تغییر الگوی فعالیت الکتریکی نورونهای هسته PGi در طی واپسیگی و سندروم ترک می گردد.

گل واژگان: آدنوزین، مورفین، هسته پارازیگانتوسلولاریس، کافین، $8-\text{فینیل تئوفیلین}$, سیکلوهگزیل آدنوزین، ثبت تک واحدی

نشریه پژوهشی یاخته، سال ششم، پاییز ۸۳، شماره ۲۳، صفحات ۱۱۴-۱۱۸

مقدمه

این علائم به خصوص در مورد سندروم ترک هنوز ناشناخته باقی مانده است. مطالعات اخیر نشان داده اند که فعالیت هسته PGi نقش اساسی در پدیده سندروم ترک دارد (^{۱، ۲}). طی پدیده سندروم ترک این هسته

تحقیقات نشان داده است مصرف مورفین دارای چندین عارضه از جمله مقاومت، واپسیگی و سندروم ترک می باشد (^۱). در مورد مکانیسم این پدیده ها نظرات مختلف ارائه شده است (^{۲، ۳}، اما مکانیسم دقیق

مغزی نخاعی (Artificial cerebrospinal fluid، ACSF) حل می‌شد. محتویات مایع مغزی نخاعی (برحسب میلی مول) شامل ترکیبات $\text{NaHCO}_3; 26$ ، $\text{MgCl}_2; 2$ ، $\text{KCl}; 5$ ، $\text{NaCl}; 124$ ، $\text{D-glucose}; 10$ ، $\text{KH}_2\text{PO}_4; 1/25$ ، $\text{CaCl}_2; 2$

تجویز مزمن مورفین

غالظت مورفین مورد استفاده در آب آشامیدنی در طی ۲۱ روز مصرف، به ترتیب زیر بود. برای روزهای اول و دوم $0/1$ ، برای روزهای سوم و چهارم $0/2$ ، برای روزهای پنجم و ششم $0/3 \text{ mg/ml}$ سپس در ۱۵ روز باقی مانده موشها دوز $0/4 \text{ mg/ml}$ را دریافت می‌کردند (۱۷).

روش ثبت از هسته PGi و جمع آوری داده‌ها

در ابتدا حیوانات به وسیله اورتان (i.p.; $1/2 \text{ g/kg}$) بیهوده می‌شدند. سپس بعد از تراکوتومی در دستگاه استریوتاکس قرار می‌گرفتند (Narishige، ژاپن). دمای بدن آنها به کمک پتوی گرم کننده نزدیک $36/8$ درجه سانتی گراد ثابت نگه داشته می‌شد. به منظور ثبت از هسته PGi یک سوراخ با قطر 2 میلیمتر بر روی جمجمه در بالای هسته PGi با مختصات $11/95-11/96 \text{ mm}$ درخلف برگما و $1/6-1/7 \text{ mm}$ در جوانب خط وسط بر اساس اطلس پاکزینوس ایجاد می‌شد (۱۸). برای تزریق در داخل هسته PGi یک کانول راهنمایی بر روی هسته PGi با زاویه 30° درجه از الکترود ثبات (عمود)، با مختصات $7/5-7/5 \text{ میلیمتر}$ به طرف خلف نقطه سوراخ شده و $10/3 \text{ میلیمتر}$ به طرف عمق جمجمه ایمپلنت می‌شد. تجهیزات تزریق شامل یک سوزن میکرواینجکتور متصل به سرنگ هامیلتون بود که از طریق کانول راهنمایی وارد هسته PGi می‌شد. با قرار گرفتن میکروالکترود شیشه‌ای پر شده از پیونتامین آبی (2درصد) به همراه سدیم استات ($M/5$) در کنار سورونهای هسته PGi، ثبت خارج سلولی انجام می‌گرفت. برای قرار دادن میکروالکترود شیشه‌ای ثبات در کنار سورونهای هسته PGi از یک عدد میکرومانیپلاتور (Narishige، ژاپن) قرار گرفته بر روی دستگاه استریوتاکس استفاده شد ($10/1 \text{ mm}$ از سطح جمجمه به طرف عمق). ثبت سورونی از طریق الکترود شیشه‌ای ثبات به میکروالکترود آمپلی فیر (WPI، آمریکا) و از آنجا به اوسیلوسکوپ وارد می‌شد. همزمان یک دستگاه بلندگو صدای فعالیت سورون را بخش می‌کرد. با جدا کردن Window discriminator (WPI) از زمینه اوسیلوسکوپ و هدایت آن به کامپیوتر، داده‌ها که تعداد فعالیت سورون به کمک دستگاه (WPI) به کامپیوتر، داده‌ها که تعداد PSTH از زمینه اوسیلوسکوپ و هدایت آن به کامپیوتر، داده‌ها که تعداد PSTH ذخیره می‌شد.

آنالیز داده‌ها

بعد از تثبیت فعالیت سورون ($20-30 \text{ min}$) فعالیت خودبه‌خودی سورون قبل و بعد از تزریق دارو به عنوان داده در نظر گرفته شد. بعد از

با آزاد کردن اسیدآمینه‌های تحریکی در هسته لوکوس سرونوس (LC)، منجر به بالا رفتن فعالیت این هسته می‌شود (۹، ۸)، اما بر عکس طی واپستگی فعالیت PGi و به موازات آن فعالیت هسته LC کاهش می‌یابد (۲).

بسیاری از مطالعات یک ارتباط دو جانبه بین آدنوزین و رسپتورهای اوبیوئیدی گزارش کرده‌اند (۱۰، ۱۱، ۱۲). این دو سیستم از طریق مسیر سیگنالینگ مشترک cAMP اعمال اثر می‌کنند (۱۳).

همچنین نشان داده شده است که آنالوگهای آدنوزینی در درمان واپستگی به مورفین کاربرد دارند (۱۰)، چنانچه این آنالوگها باعث تخفیف علائم سندروم ترک مورفین شده در صورتی که کافین به عنوان آنستاگونیست رسپتورهای آدنوزینی سبب تسهیل این علائم می‌گردد (۱۴، ۱۵). از جنبه الکتروفیولوژیکی، در مطالعه قبلی انجام شده در آزمایشگاه ما نشان داده شد که اعمال آدنوزین و کافین به ترتیب سبب کاهش و افزایش معنی داری در فعالیت سورونهای هسته PGi در موشها معتقد به مورفین در طی مرحله سندروم ترک می‌گردد. با توجه به این یافته که فعالیت الکتریکی سورونهای هسته PGi به ترتیب در طی مراحل واپستگی و سندروم ترک کاهش و افزایش معنی دار پیدا می‌کند (۲)، و اینکه مصرف آدنوزین اثر بارزی در کاهش فعالیت سورونهای این هسته در طی سندروم ترک دارد (۱۶)، مطالعه اخیر جهت بررسی اثر آدنوزین از طریق تغییر گیرنده A₁ در هسته PGi طراحی گردیده است.

مواد و روشها

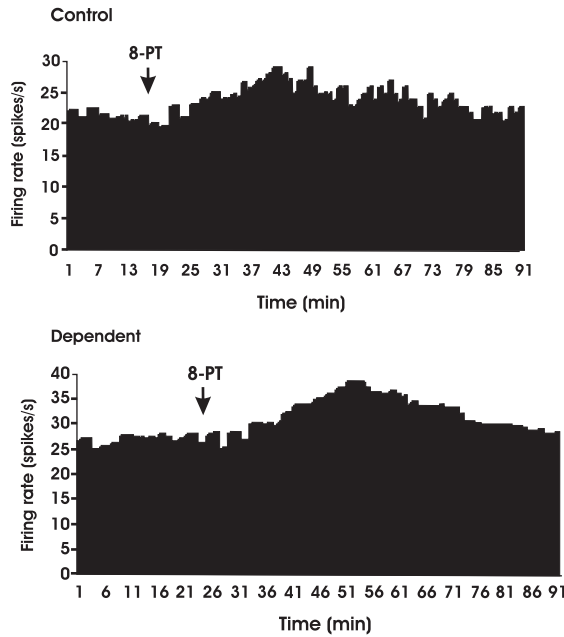
حیوانات

موش‌های صحرابی نر از جنس NMRI در محدوده وزنی $350-380$ گرم به صورت تصادفی به دو گروه تقسیم شدند. در هر قفس چهار موش قرار گرفته و به صورت آزاده به آب و غذا دسترسی داشتند. گروه کنترل ($n=36$) سوکروز ۳درصد در آب خوراکی دریافت می‌کردند و در گروه وابسته ($n=36$) مورفین سولفات و سوکروز ۳ درصد مصرف شد. هر گروه به سه زیر گروه ۱۲ تایی تقسیم شدند. در زیر گروه اول N-سیکلوهگریل آدنوزین (CHA) به داخل هسته PGi تزریق می‌شد. در زیر گروه دوم ۸-فنیل تئوفیلین بصورت داخل صفاقی تزریق گردید. در زیر گروه سوم بعد از تزریق داخل صفاقی کافین، CHA به داخل هسته PGi تزریق می‌شد.

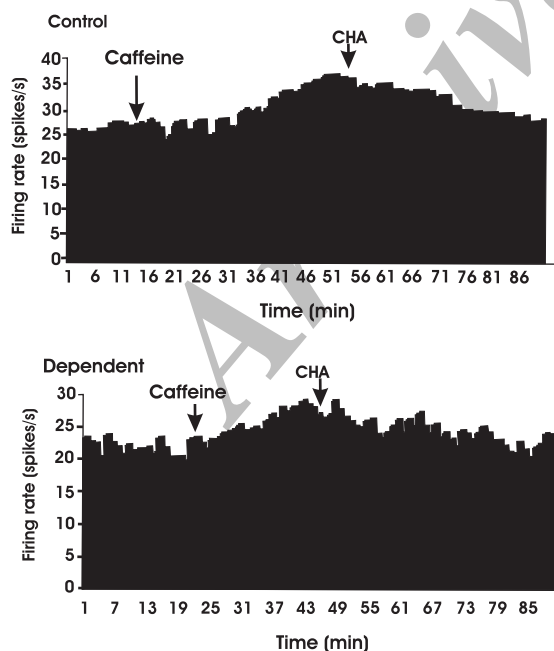
داروهای

سولفات مورفین (تماد، ایران) و کافین در آب مقطر حل می‌شوند. ۸-فنیل تئوفیلین (سیگما، آمریکا) به وسیله اتیلن دی آمین به صورت محلول در آمده و سپس برای تزریق داخل صفاقی به کمک آب مقطر ریقی می‌گشت. سیکلوهگریل آدنوزین (سیگما، آمریکا) در داخل مایع

فعالیت نورونهای هسته PGi در گروههای کنترل و معتاد در اثر اعمال CHA کاهش معنی دار پیدا کرده است ($P<0.05$), به طوری که این کاهش در گروه معتاد $52/5 \pm 3/4$ % بارزتر و مشخص تر از گروه کنترل $(35/2 \pm 3/1)$ % می‌باشد (شکل ۴).



شکل ۲: الگوی فعالیت الکتریکی نورونهای هسته PGi در دو گروه کنترل و معتاد، قبل و بعد از تزریق داخل صفاقی-۸-فنیل تئوفیلین (۱۰ mg/kg). تزریق این دارو سبب افزایش معنی دار فعالیت الکتریکی نورونهای هسته PGi در گروه معتاد نسبت به گروه کنترل گردید ($n=12$ در هر گروه، $P<0.05$).



شکل ۳: فعالیت الکتریکی نورونهای هسته PGi، به دنبال تزریق سیکلوهگزیل آدنوزین در موشهایی که از قبل کافئین (۵۰ mg/kg; i.p.) را دریافت کرده‌اند. در این حالت تغییر معنی داری در فعالیت الکتریکی نورونها مشاهده نکردید ($n=12$ در هر گروه، $P<0.05$).

تزریق دارو فعالیت الکتریکی نورون تا بازگشت این فعالیت به حالت اولیه ادامه می‌یافتد. تغییر فعالیت نورونی هسته PGi بعد از تزریق دارو به عنوان اثر دارو در نظر گرفته می‌شود (شکل ۱-۳). Mean±S.E.M در نظر گرفته شد و درصد تغییرات به کمک فرمول (میانگین قبل از تزریق/میانگین قبل از تزریق - میانگین بعد از تزریق)/محاسبه گردید. مقایسه بین گروههای کنترل و معتاد به کمک Unpaired t-test انجام شد و $P<0.05$ به عنوان سطح معنی داری در نظر گرفته شد.

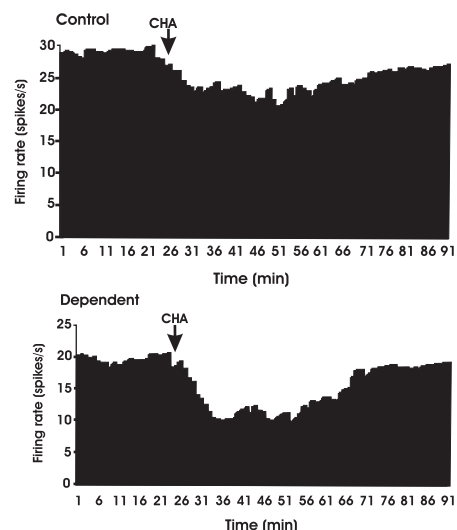
تایید بافت شناسی

در پایان هر آزمایش به دنبال تزریق بافر فرمالین-سففات (۱۰ درصد، ۹/۰ mg) در دارو بدرودن قلب پروفیوز می‌شد. سپس مغز موشهای جدا و پس از برش گیری به کمک پارافین (۱۰ میکرومتر) با روش هماتوکسیلین-اژوزین رنگ آمیزی می‌گردید. جایگاه ثبت الکتریکی به کمک رنگدانه پوتامین آبی موجود در داخل الکترود ثبت علامت گذاری می‌شود. نهایتاً جایگاههای ثبت با مقایسه با اطلس پاکرینوس و واتسون (۱۸) تایید می‌گردید. داده‌های گزارش شده از موشهایی است که محل ثبت آنها در هسته PGi تایید شده است.

یافته‌ها

اثر سیکلوهگزیل آدنوزین (CHA) بر فعالیت پایه نورونهای هسته PGi

در شکل ۱ اثر CHA به عنوان آگونیست اختصاصی گیرنده A₁ آدنوزینی بر فعالیت نورونهای هسته PGi در گروههای کنترل و معتاد نشان داده شده است.



شکل ۱: الگوی فعالیت الکتریکی نورونهای هسته PGi در دو گروه کنترل و معتاد، قبل و بعد از تزریق داخل هسته‌ای سیکلوهگزیل آدنوزین (۵۰ μM). به دنبال تزریق سیکلوهگزیل آدنوزین فعالیت این نورونها در دو گروه کنترل و معتاد کاهش یافته است. این کاهش فعالیت در گروه کنترل $(35/2 \pm 3/1)$ % به شکل معنی داری کمتر از گروه معتاد $(52/5 \pm 3/5)$ % بود ($n=12$ در هر گروه، $P<0.05$).

شکل شماره ۴ نشان داده می شود این افزایش فعالیت در گروه وابسته ($39/3 \pm 2/5$ درصد) نسبت به گروه کنترل ($27/2 \pm 2/1$ درصد) معنی دارتر می باشد ($P < 0.05$).

تأثیر CHA بر فعالیت نورونهای هسته PGi در موشهای درمان شده با کافئین

پس از بلوک گیرنده های آدنوزین به کمک کافئین (50 mg/kg ; i.p) CHA، در داخل هسته PGi تزریق می شد. همان طور که در شکل ۳ و ۵ نشان داده می شود CHA در این شرایط توانایی تغییر معنی دار فعالیت الکتریکی نورونهای هسته PGi را ندارد.

بحث

به منظور کاهش استرس حیوانات و تزریق مورفین، جهت معتاد کردن موشهای مورفین به آب آشامیدن آنها اضافه شد. در این روش مصرف مورفین بر اساس نیاز حیوان بوده و تقریباً به وابستگی در انسان شباهت بیشتری دارد (۱۹).

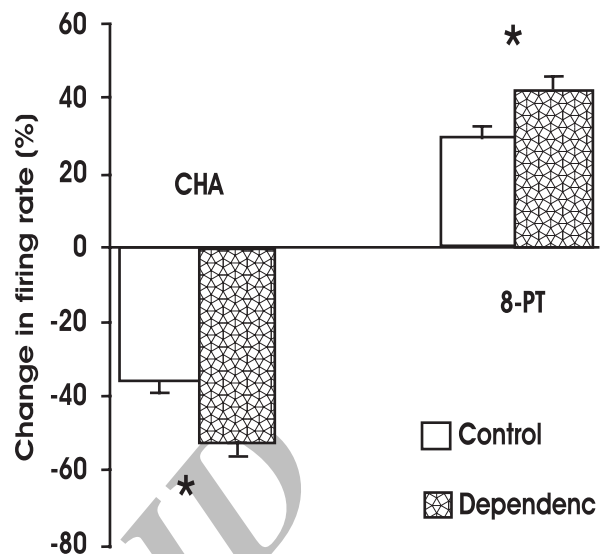
نورونهای هسته PGi که در این مطالعه فعالیت الکتریکی آنها ثبت شده است بر طبق مشاهده Ennis و همکارانش (۲۰) دارای فرکانس فعالیت بالا و بر اساس گزارش Rasmussen و همکارانش (۳) مسؤول وابستگی به مورفین است. در تحقیق حاضر اعمال آگونیست اختصاصی گیرنده A_1 آدنوزینی یعنی CHA به داخل هسته PGi سبب کاهش مشخص فعالیت الکتریکی نورونهای این هسته در موشهای وابسته به مورفین گردید.

در توجه این نتیجه گزارشات متعددی در ارتباط مستقابل دو سیستم آدنوزینی و اوپیوئیدی (۱۱، ۱۲) ارائه شده است. توانایی برخی رفتارهای سندروم ترک در موشهای وابسته به آنالوگ های آدنوزینی توسط آنتاگونیستهای اوپیوئیدی و همچنین برخی رفتارها توسط آنتاگونیستهای آدنوزینی در موشهای معتاد به مورفین توسط Aley و همکارانش گزارش شده است (۲۱).

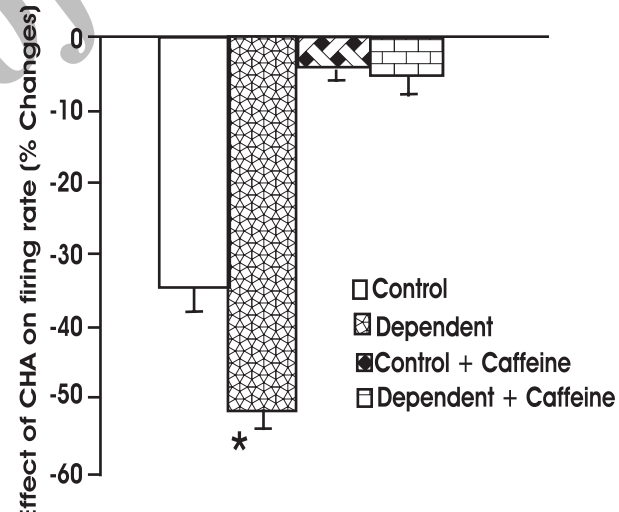
از طرفی کاهش فعالیت نورونهای هسته PGi در طی وابستگی و تنظیم افزایشی گیرنده های A_1 آدنوزینی در این دوره و از طرفی افزایش فعالیت این نورونها در طی سندروم ترک، پیشنهاد می کند که احتمالاً نتایج الکتروفیزیولوژیک با CHA مربوط به افزایش حساسیت یا تنظیم افزایشی گیرنده های A_1 در هسته PGi باشد.

به همین ترتیب افزایش معنی دار نورونهای هسته PGi در موشهای معتاد به دنبال تزریق آنتاگونیستهای اختصاصی گیرنده A_1 آدنوزینی، ۸-فنیل تئوفیلین هم احتمالاً به تغییر قیاسیت گیرنده A_1 در هسته PGi مرتبط است.

در تایید نتایج ذکر شده آزمایشات مابا



شکل ۴: مقایسه اثر سیکلوهکزیل آدنوزین و ۸-فنیل تئوفیلین بر فعالیت الکتریکی پایه نورونهای هسته PGi. همان طور که سنتونها نشان می دهد (Mean±S.E.M) فعالیت این نورونها به طور معنی داری توسط سیکلوهکزیل آدنوزین کاهش و به دنبال تزریق ۸-فنیل تئوفیلین افزایش یافته است (n=12 در هر گروه). ($P < 0.05$).



شکل ۵: مقایسه اثر سیکلوهکزیل آدنوزین در موشهای پیش درمان شده با داروی کافئین (50 mg/kg ; i.p) در گروه های کنترل و معتاد. همان طور که شکل نشان می دهد (Mean±S.E.M) بلوک گیرنده های آدنوزین از تاثیر سیکلوهکزیل آدنوزین بر فعالیت الکتریکی نورونها جلوگیری کرده است (n=12 در هر گروه). ($P < 0.05$).

اثر ۸-فنیل تئوفیلین (PT-۸) بر فعالیت نورونهای هسته PGi

به دنبال تزریق PT-۸ فعالیت پایه نورونهای هسته PGi در دو گروه کنترل و معتاد افزایش پیدا می کند (شکل ۲). همان طور که در

به طور کلی نتایج این مطالعه نشان می دهد که تغییر حساسیت گیرنده های A₁ آدنوزینی نورونهای هسته PGi در طی مصرف طولانی مورفين احتمالاً مسئول فعالیت پایین این نورونهای در طی واپستگی و افزایش فعالیت این آنها در طی سندروم ترک است.

CHA به دنبال بلوک گیرنده های آدنوزینی بوسیله کافئین و عدم تاثیر CHA در این حالت موید این نکته است که مهمترین گیرنده آدنوزینی درگیر در تغییر فعالیت الکتریکی هسته PGi در طی واپستگی و سندروم ترک گیرنده A₁ باشد.



References

1. Rasmussen K, Beitner DB, Krystal JH, Aghajanian GK, Nestler EJ: Opiate withdrawal and the rat locus coeruleus: behavioral, electrophysiological and biochemical correlates. *J. Neurosci.* 1990; 10: 2308-
2. Haghparast A, Semnanian S and Fathollahi Y: Morphine tolerance and dependence in the nucleus paragigantocellularis: Single unit recording study in vivo. *Brain Res.* 1998; 814: 71-77
3. Rasmussen K, Aghajanian GK: Withdrawal-induced activation of locus coeruleus neurons in opiate-dependent rats: attenuation by lesions of the nucleus paragigantocellularis. *Brain Res.* 1989; 505: 346-350
4. Cedarbaum JM, Aghajanian GK: Afferent projections to the rat locus coeruleus as determined by a retrograde tracing technique. *J Comp Neurol* 1978; 178: 1-6
5. Luppi PH, Aston-Jones G, Akaoka H, Chouvet G, Jouvet M: Afferent projections to the rat locus coeruleus demonstrated by retrograde and antrograde tracing with cholera-toxin B subunit and Phaseolus Vulgaris Leucoagglutinin. *Neuroscience.* 1993, 65: 128-138
6. Ennis M, Aston-Jones G: Activation of locus coeruleus from nucleus paragigantocellularis: a new excitatory amino acid pathway in brain. *J. Neurosci.* 1988; 8: 3644-3657
7. Akaoka H, Aston-Jones G: Opiate withdrawal-induced hyperactivity of locus coeruleus neurons is substantially mediated by augmented excitatory amino acid input. *J. Neurosci.* 1991; 11: 3830-3839
8. Maldonado R, Koob GF: Destruction of the locus coeruleus decrease physical signs of opiate withdrawal. *Brain Res* 1993;605: 128-138
9. Punch LJ, Self DW, Nestler EJ, Taylor JR: Opposite modulation of opiate withdrawal behaviors on microinfusion of a protein kinase A inhibitor versus activator into the locus coeruleus or periaqueductal gray. *J Neurosci* 1997; 17: 8520-8527
10. Dionyssopoulos T, Hope W, Coupar IM: Effect of adenosine analogues on the expression of opiate withdrawal in rats. *Pharmacol. Biochem. Behav.* 1992; 42: 201-206
11. Michalska E, Male D: Agonist and antagonists of adenosine receptors and morphine withdrawal syndrome in rats. *Pol. J Pharmacol* 1993; 45: 1-9
12. Zarrindast MR, Naghipour B, Roushan-Zamir F, Shafaghi B: Effect of adenosine receptor agents on the expression of morphine withdrawal in mice. *Eur. J Pharmacol* 1997; 369: 17-22
13. Salles KS, Colasanti BK, Craig CR, Thomas JA: Involvement of brain cyclic AMP in the acute and chronic effect of morphine in the rat. *Pharmacol* 1978; 17: 128-137
14. Ahljanian MK, Takemori AE: Changes in adenosine receptor sensitivity in morphine - tolerant and - dependent mice. *J Pharmacol Exp Ther* 1986; 236: 615-620
15. Kaplan GB, Leite-Morris KA, Sears MT: Alteration of adenosine A1 receptors in morphine dependence. *Brain Res.* 1994; 657: 347-350
16. Khalili M, Semnanian S, Fathollahi Y: Caffeine increase paragigantocellularis neuronal firing rate and induces withdrawal signs in morphine-dependent rats. *E J Pharmacol* 2001; 412: 239-245
17. Bernstein MA, Welch SP: Effect of spinal versus supraspinal administration of cyclic nucleotide - dependent protein kinase inhibition on morphine tolerance in mice. *Drug Alcohol Depend* 1997; 41: 41-46
18. Paxinos G, Watson C: The rat brain in stereotaxic coordinates. Academic Press Orlando:1986
19. Badavy AA, Evans CM: Production of tolerance and physical dependence in the rat by simple administration of morphine in drinking water. *Br J Pharmacol* 1982; 75: 485-491
20. Ennis M, Astone-Jones G: Two physiologically distinct population of neurons in the ventrolateral medulla innervate the locus coeruleus. *Brain Res* 1987; 425: 275-282

21. Aley KO, Green PG, Levine JD: Opioid and adenosine peripheral antinociception are subject to tolerance and withdrawal. *J Neurosci.* 1995; 15: 8031-8038



Archive of SID